

•实验研究•

[文章编号] 1007-3949(2006)14-07-0560-05

川芎嗪对血管壁细胞血管细胞粘附分子1和单核细胞趋化蛋白1表达的作用及可能机制

阮秋蓉,瞿智玲,朱敏,路军,任新瑜,周英

(华中科技大学同济医学院基础医学院病理系,湖北省武汉市430030)

[关键词] 病理学; 川芎嗪; 动脉粥样硬化; 血管细胞粘附分子1; 单核细胞趋化蛋白1; 血管紧张素Ⅱ; 核因子KB

[摘要] 目的 观察川芎嗪对血管内皮细胞和平滑肌细胞表达血管细胞粘附分子1、单核细胞趋化蛋白1和核因子KB的影响,探讨川芎嗪抗动脉粥样硬化分子机制。方法 体外培养人脐静脉内皮细胞和大鼠胸主动脉平滑肌细胞。用氧化型低密度脂蛋白、氧化型极低密度脂蛋白、血管紧张素Ⅱ和(或)川芎嗪作用于细胞后,采用免疫细胞化学和原位分子杂交检测各组细胞血管细胞粘附分子1、单核细胞趋化蛋白1和核因子KB的表达情况。用单核细胞粘附试验检测川芎嗪对单核细胞粘附于内皮细胞的影响。结果 氧化型低密度脂蛋白、氧化型极低密度脂蛋白或血管紧张素Ⅱ诱导内皮细胞血管细胞粘附分子1蛋白相对表达量分别为 0.552 ± 0.008 、 0.460 ± 0.006 和 0.486 ± 0.025 ,明显高于对照组的 0.365 ± 0.019 ($P < 0.01$);诱导平滑肌细胞血管细胞粘附分子1蛋白相对表达量分别为 0.564 ± 0.007 、 0.513 ± 0.021 和 0.524 ± 0.008 ,明显高于对照组(0.416 ± 0.013 , $P < 0.01$)。氧化型低密度脂蛋白、氧化型极低密度脂蛋白或血管紧张素Ⅱ诱导内皮细胞单核细胞趋化蛋白1蛋白相对表达量分别为 0.962 ± 0.051 、 0.878 ± 0.014 和 0.824 ± 0.006 ,明显高于对照组的 0.303 ± 0.008 ($P < 0.01$);诱导平滑肌细胞单核细胞趋化蛋白1蛋白相对表达量分别为 0.877 ± 0.011 、 0.845 ± 0.023 和 0.881 ± 0.009 ,明显高于对照组的 0.362 ± 0.018 ($P < 0.01$)。氧化型低密度脂蛋白、氧化型极低密度脂蛋白或血管紧张素Ⅱ诱导组血管细胞粘附分子1和单核细胞趋化蛋白1的mRNA表达明显高于对照组($P < 0.01$)。同时加入川芎嗪后血管细胞粘附分子1和单核细胞趋化蛋白1蛋白和mRNA表达明显低于相应诱导组($P < 0.01$)。氧化型低密度脂蛋白、氧化型极低密度脂蛋白或血管紧张素Ⅱ诱导核因子KB在核内表达,同时加入川芎嗪后核因子KB表达于胞浆,核内阴性。与氧化型低密度脂蛋白或氧化型极低密度脂蛋白诱导组(2.047 ± 0.011 和 1.936 ± 0.014)比较,加入川芎嗪后,粘附于内皮细胞的单核细胞明显减少(1.282 ± 0.020 和 1.265 ± 0.016 , $P < 0.01$)。结论 川芎嗪通过抑制或阻断动脉粥样硬化危险因素氧化型低密度脂蛋白、氧化型极低密度脂蛋白和血管紧张素Ⅱ诱导的核因子KB活化及核内移位,抑制血管壁细胞血管细胞粘附分子1和单核细胞趋化蛋白1表达,抑制单核细胞粘附于内皮,而发挥其抗动脉粥样硬化作用。

[中图分类号] R36

[文献标识码] A

Effect and Possible Mechanism of Ligustrazine on Expression of Vascular Cell Adhesion Molecule-1 and Monocyte Chemoattractant Protein-1 in Cells of Wall Vascular

RUAN Qiu Rong, QU Zhi Ling, ZHU Min, LU Jun, REN Xin Yu, and ZHOU Ying

(Department of Pathology, Tongji Medical College, Huazhong University of Science and Technology, Wuhan 430030, China)

[KEY WORDS] Ligustrazine; Atherosclerosis; Vascular Cell Adhesion Molecule-1; Monocyte Chemoattractant Protein-1; AngiotensinⅡ; Nuclear factor-KB

[ABSTRACT] Aim To observe the influence of ligustrazine on vascular cell adhesion molecule-1 (VCAM-1), monocyte chemoattractant protein-1 (MCP-1) and nuclear factor-KB (NF-KB), expression by vascular endothelial cells and smooth muscle cells and to investigate the molecular mechanism of ligustrazine against atherosclerosis. Methods Human umbilical vein endothelial cells (hUVEC) and rat thorax aortic smooth muscle cells (SMC) were cultured and stimulated by ox-LDL, ox-VLDL, angiotensinⅡ and/or ligustrazine. Then, VCAM-1, MCP-1 and NF-KB expression by cultured cells were examined with immunocytochemistry staining or in situ hybridization. Adhesion test of monocytes was used to evaluate the influence of ligustrazine on monocytes adhesion to endothelium. Results Comparing with contrast group (hUVEC: 0.365 ± 0.019 , SMC: 0.416 ± 0.013), ox-LDL, ox-VLDL and angiotensinⅡ could enhance VCAM-1 protein level both in hUVEC (0.552 ± 0.008 , 0.460 ± 0.006 , 0.486 ± 0.025) and SMC (0.564 ± 0.007 , 0.513 ± 0.021 , 0.524 ± 0.008) ($P < 0.01$). As well, ox-LDL, ox-VLDL and angiotensinⅡ could enhance MCP-1 protein level both in hUVEC and SMC ($P < 0.01$). By contrast, ox-LDL, ox-VLDL and angiotensinⅡ

[收稿日期] 2005-07-20 [修回日期] 2006-05-21

[基金项目] 国家自然科学基金(30300135);湖北省自然科学基金

[作者简介] 阮秋蓉,教授,博士研究生导师,主要从事动脉粥样硬化发病机制及防治的研究, E-mail 为 ruanqiurong@sina.com。瞿智玲,主管技师。朱敏,硕士研究生。

could enhance VCAM-1 and MCP-1 mRNA expressionS both in hUVEC and SMC ($P < 0.01$)。And ligustrazine markedly reduced ox-LDL, ox-VLDL, angiotensin II induced VCAM-1 and MCP-1 expression ($P < 0.01$)。By contrast, ox-LDL, ox-VLDL and angiotensin II promoted NF- κ B nuclear translocation both in hUVEC and SMC。Ligustrazine inhibited or blocked ox-LDL, ox-VLDL and angiotensin II induced NF- κ B nuclear translocation。Comparing with ox-LDL, and ox-VLDL group (2.047 ± 0.011 , 1.936 ± 0.014), ligustrazine reduced the amount of monocytes adhesion to endothelial cells (1.282 ± 0.020 , 1.265 ± 0.016) ($P < 0.01$)。

Conclusion Ligustrazine resists atherosclerosis by inhibition of VCAM-1 and MCP-1 expression of vascular cells. This effect might be mediated by NF- κ B pathway。

中药川芎的有效成分川芎嗪(Ligustrazine)具有活血化瘀等心血管系统的保护作用,由于其对动脉粥样硬化(atherosclerosis, As)等心血管疾病的明确疗效及使用的安全性,川芎嗪已广泛应用于临床。但川芎嗪抗As的作用机制所知甚少,研究报道不多。我室曾报道川芎嗪的抗血栓形成作用及机制^[1],为了更全面了解川芎嗪的抗As作用及机制,本文以As的危险因素氧化型低密度脂蛋白(oxidized low density lipoprotein, ox-LDL)、氧化型极低密度脂蛋白(ox-VLDL)和血管紧张素Ⅱ(angiotensin II, Ang II)为诱导因子,观察川芎嗪对ox-LDL和ox-VLDL和Ang II诱导的血管内皮细胞、平滑肌细胞(smooth muscle cells, SMC)表达血管细胞粘附分子1(vascular cell adhesion molecule-1, VCAM-1)、单核细胞趋化蛋白1(monocyte chemoattractant protein-1, MCP-1)等As相关细胞因子的影响,以及核因子κB在此过程中的作用,并检测川芎嗪是否具有抑制单核细胞粘附于内皮的生物学功能,为川芎嗪抗As作用提供实验依据。

1 材料和方法

1.1 氧化型脂蛋白的制备

参照王淳本等^[2]的方法,用超速离心法从健康人血分离得到LDL和VLDL,加CuCl₂(终浓度为10 μmol/L)使之氧化,用硫代巴比妥酸反应物质值(TBARS)对其氧化程度进行鉴定,实验用ox-LDL和ox-VLDL的TBARS值为52.0~68.5 μmol/g蛋白。用Lowry法^[3]进行蛋白定量。

1.2 细胞培养及实验分组

1.2.1 内皮细胞培养 无菌条件下取健康人脐带,PBS洗净血液,用酶消化法培养人脐静脉内皮细胞(human umbilical vein endothelial cells, hUVEC)^[4],培养基为含10%胎血清的M199(Gibco公司),待细胞汇合后,以1:3的比例传代培养^[5]。细胞汇合时呈“铺路石”状,检测细胞ⅠI相关抗原鉴定培养hUVEC,细胞纯度达95%以上。第2~5代生长至呈70%~90%汇合状态的hUVEC用于实验。

1.2.2 平滑肌细胞培养 取4~6周龄雄性SD大鼠(华中科技大学同济医学院实验动物学部提供),断头处死,无菌条件下取出胸主动脉,小心剥去外膜,刮下内膜,贴壁法^[6]培养中膜SMC。光镜以及

相差显微镜下观察细胞呈梭形,生长至融合状态时呈现特有的峰与谷特点;用免疫组织化学特异性抗α-actin单克隆抗体鉴定为SMC,纯度达95%以上。第3~5代用于实验。

1.2.3 实验分组 培养细胞随机分组:对照组:仅加无血清培养基(DMEM/F12, Gibco公司);④ox-LDL组:加含ox-LDL(终浓度为25 mg/L)的无血清培养基;④ox-VLDL组:加含ox-VLDL(终浓度为25 mg/L)的无血清培养基;Ang II组:加含终浓度为10~6 mol/L Ang II(Sigma公司)的无血清培养基;川芎嗪各组:分别在对照组和各诱导组培养基中同时加入终浓度为200 mg/L的川芎嗪(北京市永康药业有限公司)。置于37℃培养箱(5% CO₂、95% O₂)中继续培养一定时间后分别收集样本。

1.3 血管细胞粘附分子1、单核细胞趋化蛋白1和核因子κB的免疫细胞化学检测

人脐静脉内皮细胞(hUVEC)和SMC分别传代接种于96孔培养板(10^5 个细胞/孔),培养过夜后,按上述分组加入不同培养基(9孔/组)。继续培养24 h后,弃去培养基,其中每组3孔细胞用1 mol/L NaOH裂解,用Lowry法进行蛋白定量,其余6孔用4%多聚甲醛固定,正常血清封闭,采用链霉菌抗生素蛋白一过氧化物酶法(SP法)检测细胞VCAM-1和MCP-1蛋白。一抗为羊抗人VCAM-1或羊抗鼠VCAM-1(1:50)或MCP-1多克隆抗体(1:50)(北京中山试剂公司)。以PBS代替一抗时作阴性对照。DAB显色后用多通道酶标仪于490 nm测定各孔OD值。以各孔OD值与各孔细胞蛋白总含量的相对比值表示各孔细胞VCAM-1和MCP-1蛋白的相对表达量。实验重复三次。

人脐静脉内皮细胞(hUVEC)和SMC分别传代接种于预先放置有洗净盖玻片的培养瓶内,待生长至呈70%~90%汇合状态时,按上述分组加入不同培养基(2瓶/组)继续培养2 h后,SP法检测细胞核因子κB。一抗为核因子κB p65亚单位的单克隆抗体(1:50)(美国Santa Cruz公司)。以PBS代替一抗时作阴性对照。实验重复三次。

1.4 单核细胞粘附试验

人脐静脉内皮细胞(hUVEC)培养过夜后,分组后加入不同培养基(8孔/组)。继续培养24 h,弃去

培养基, PBS 轻洗, 其中每组 5 孔加入 U937 单核细胞株(10^7 /孔, 华中科技大学同济医学院基础医学院免疫学系提供) 100 μL , 37 $^\circ\text{C}$ 孵育 3 h, PBS 轻洗, 洗去未粘附的单核细胞。用 1 mol/L NaOH 裂解细胞, 用 Lowry 法进行蛋白定量。用相对蛋白浓度即各孔总细胞蛋白浓度与未加 U937 单核细胞株的各孔 hUVEC 的蛋白浓度之比来表示各组粘附的单核细胞相对量。实验重复两次。

1.5 血管细胞粘附分子 1 和单核细胞趋化蛋白 1 原位分子杂交

人脐静脉内皮细胞(hUVEC) 和 SMC 分别传代接种于预先放置有洗净盖玻片的培养瓶内, 待生长至呈 70%~90% 汇合状态时, 按上述分组加入不同培养基。继续培养 24 h, 弃去培养基, 用 4% 多聚甲醛固定细胞, -70 $^\circ\text{C}$ 保存备用。参照 Boehringer 公司原位分子杂交试剂盒说明书进行杂交试验, 所用探针为 VCAM-1 cDNA 及 MCP-1 寡核苷酸探针(Boehringer 公司)。用 HPIAS-1000 高清晰度图象分析系统各组随机检测 50 个细胞, 用各组细胞的平均吸光

度值来判断 VCAM-1 和 MCP-1 mRNA 的表达。

1.6 统计学处理

所有数据均采用 $\bar{x} \pm s$ 表示, 用 SPSS11.0 软件行组间方差分析(ANOVA), $P < 0.05$ 示为差异有显著性意义。

2 结果

2.1 川芎嗪对血管细胞粘附分子 1 和单核细胞趋化蛋白 1 蛋白表达的影响

各组细胞 VCAM-1 和 MCP-1 蛋白相对表达量以各孔 OD 值与各孔细胞蛋白总含量的相对比值表示(表 1)。各诱导组 VCAM-1 和 MCP-1 蛋白表达明显高于对照组, 川芎嗪组 VCAM-1 和 MCP-1 蛋白表达明显低于相对应诱导组。方差分析表明差异有显著意义($P < 0.01$, $n = 18$)。川芎嗪组与对照组比较, 差异无显著意义; 各诱导组间差异无显著意义; 各川芎嗪组间差异无显著意义($P > 0.05$)。

表 1. 各组细胞血管细胞粘附分子 1 和单核细胞趋化蛋白 1 蛋白相对表达量($n = 18$)

分组	VCAM-1		MCP-1	
	hUVEC	SMC	hUVEC	SMC
对照组	0.365 \pm 0.019	0.416 \pm 0.013	0.303 \pm 0.008	0.362 \pm 0.018
ox-LDL	0.552 \pm 0.008 ^a	0.564 \pm 0.007 ^a	0.962 \pm 0.051 ^a	0.877 \pm 0.011 ^a
ox-VLDL	0.460 \pm 0.006 ^a	0.513 \pm 0.021 ^a	0.878 \pm 0.014 ^a	0.845 \pm 0.023 ^a
Ang ④	0.486 \pm 0.025 ^a	0.524 \pm 0.008 ^a	0.824 \pm 0.006 ^a	0.881 \pm 0.009 ^a
对照+ 川芎嗪	0.354 \pm 0.005	0.397 \pm 0.021	0.362 \pm 0.022	0.401 \pm 0.031
ox-LDL+ 川芎嗪	0.374 \pm 0.012 ^b	0.410 \pm 0.015 ^b	0.352 \pm 0.007 ^b	0.386 \pm 0.018 ^b
ox-VLDL+ 川芎嗪	0.362 \pm 0.020 ^c	0.408 \pm 0.007 ^c	0.313 \pm 0.011 ^c	0.367 \pm 0.009 ^c
Ang ④+ 川芎嗪	0.366 \pm 0.005 ^d	0.418 \pm 0.011 ^d	0.308 \pm 0.014 ^d	0.371 \pm 0.018 ^d

a 为 $P < 0.01$, 与对照组比较; b 为 $P < 0.01$, 与 ox-LDL 组比较; c 为 $P < 0.01$, 与 ox-VLDL 组比较; d 为 $P < 0.01$, 与 Ang ④ 组比较。

2.2 川芎嗪对核因子 kB 的影响

免疫细胞化学结果显示对照组及各川芎嗪组核因子 kB p65 细胞核阴性, 细胞浆阳性, 表现为胞浆内棕黄色颗粒; ox-LDL 和 ox-VLDL、Ang ④ 诱导组核因子 kB p65 则呈明显细胞核阳性, 胞浆阴性(图 1)。

2.3 单核细胞粘附试验

单核细胞粘附试验结果显示 ox-LDL 和 ox-VLDL 诱导组的细胞相对蛋白浓度明显高于对照组; 各川芎嗪组的细胞相对蛋白浓度明显低于对应诱导组($P < 0.01$, $n = 10$), 各川芎嗪组与对照组比较差异无显著意义; 各诱导组间差异无显著意义; 各川芎嗪组间差异无显著意义($P > 0.05$)(表 2)。

表 2. 单核细胞粘附试验各组细胞相对蛋白浓度($n = 10$)

分组	相对蛋白浓度
对照组	1.208 \pm 0.021
ox-LDL	2.047 \pm 0.011 ^a
ox-VLDL	1.936 \pm 0.014 ^a
对照+ 川芎嗪	1.217 \pm 0.015
ox-LDL+ 川芎嗪	1.282 \pm 0.020 ^b
ox-VLDL+ 川芎嗪	1.265 \pm 0.016 ^c

a 为 $P < 0.01$, 与对照组比较; b 为 $P < 0.01$, 与 ox-LDL 组比较; c 为 $P < 0.01$, 与 ox-VLDL 组比较。

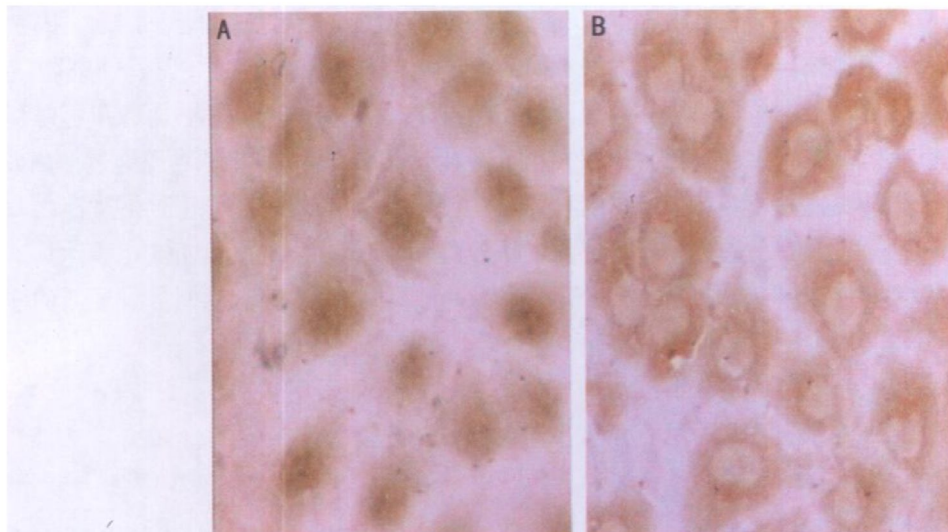


图1. 免疫细胞化学检测结果 核因子 κ B在ox-LDL组hUVEC中胞核阳性(A); 在ox-LDL+川芎嗪组hUVEC中胞核阴性, 胞浆阳性(B)($\times 200$)。

2.4 川芎嗪对血管细胞粘附分子1和单核细胞趋化蛋白1 mRNA表达的影响

原位分子杂交结果显示, VCAM-1 和 MCP-1 mRNA 呈棕黄色颗粒表达于 hUVEC 和 SMC 的胞浆和/或胞核中(图2)。ox-LDL 和 ox-VLDL 及 Ang ④诱导组着色明显强于对照组, 图象分析系统检测其细胞

的平均吸光度值明显高于对照组($P < 0.01, n = 50$); 而各川芎嗪组着色明显弱于各诱导组, 细胞的平均吸光度值明显低于其对应诱导组($P < 0.01$)。川芎嗪组与对照组比较无显著性差异($P > 0.05$) (数据略)。

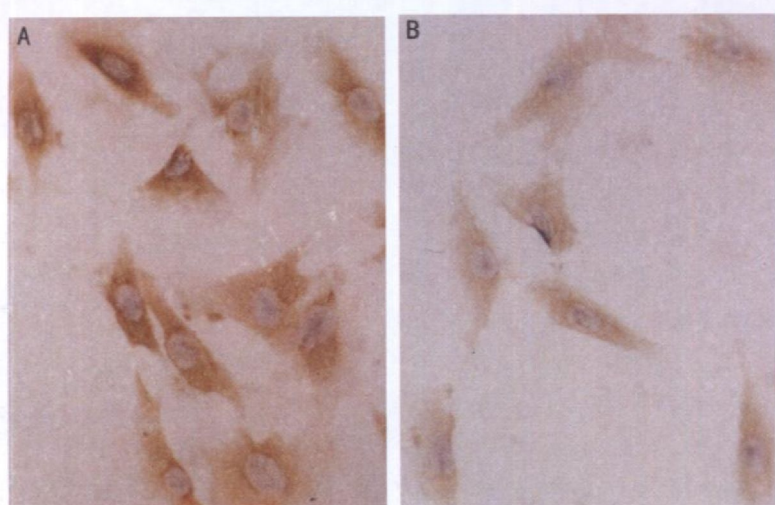


图2. 原位杂交检测结果 血管紧张素(Ang)④诱导组VCAM-1 mRNA主要在大鼠血管SMC胞浆内表达(A); Ang④+川芎嗪组VCAM-1阳性着色明显变浅(200 \times , 苏木素染核)

3 讨论

伞形科植物川芎是常用的活血化瘀类中药, 它可以与其它中药组成方剂, 广泛用于高血压、冠心病等的防治。川芎嗪则是从川芎的根茎中提取的有效成分, 化学结构为四甲基吡嗪, 是一种生物碱。我国在20世纪70年代初, 由北京制药工业研究所从川芎提取物中分离出单体川芎嗪^[7]。目前, 已有人工

合成的产品, 主要是盐酸和磷酸川芎嗪。大量的动物实验和临床研究证实, 川芎嗪具有扩张血管、增加冠状动脉和脑血流量、活血化瘀、抑制血小板聚集等广泛的药理作用^[1]。除此之外, 川芎嗪还能通过抑制VSMC的表型转换、生长速度等环节, 参与逆转As病变, 但是其抗As的分子机制尚不清。由于其可靠疗效、安全、价廉等优点, 川芎嗪抗As的作用和机制倍受人们关注。

动脉粥样硬化(As)是一个多因素导致的复杂疾病,有关其发病机制有多种假说,但最终学者们公认内皮功能紊乱是最关键的始动环节,随之平滑肌细胞和单核细胞等共同参与As的发生发展。这一过程中内皮细胞和平滑肌细胞表达的炎症介质如粘附分子VCAM-1、趋化因子MCP-1等在As的发病机制中起重要作用^[8,9],他们介导细胞间的相互作用,自身也被多种As危险因素所调节。核因子核因子κB是调节炎症相关基因的重要转录因子,生理状态下它与IκB结合,以无活性形式存在于胞浆,激活后移位入细胞核,与粘附分子、趋化因子等的基因启动子域内相应的部位结合,启动上述因子的转录。高脂血症为As最重要的独立危险因素之一,人们对ox-LDL在As中的作用取得共识,另一血浆脂蛋白成分VLDL在As中的作用也逐渐得到重视。Marta Ruiz-Ortega等^[10]发现,肾素-血管紧张素系统中的成分AngⅡ作为炎症的一个重要调节因素,可以激活培养的鼠血管SMC核因子κB,促进炎症的发生发展。近期研究表明,AngⅡ在As的发生过程中亦发挥重要的作用^[11]。

本研究单核细胞粘附实验表明ox-LDL和ox-VLDL诱导组的细胞相对蛋白浓度明显高于对照组;各川芎嗪组的细胞相对蛋白浓度明低于对应诱导组。说明川芎嗪组单核细胞粘附与hUVEC的数量显著减少,芎嗪组可抑制As危险因素引起的单核细胞粘附于培养的内皮细胞。提示川芎嗪通过抑制单核细胞粘附于内皮,阻止单核细胞进入血管内皮下间隙,从而抑制As斑块的形成。免疫细胞化学和原位分子杂交结果显示ox-LDL和ox-VLDL及AngⅡ均可使hUVEC和SMC VCAM-1和MCP-1 mRNA和蛋白表达增高。它们由此介导单核细胞粘附于内皮。川芎嗪组VCAM-1和MCP-1 mRNA和蛋白表达明显低于相对应诱导组,说明川芎嗪通过减少血管壁细胞VCAM-1和MCP-1表达,抑制单核细胞的粘附。ox-

LDL、ox-VLDL和AngⅡ诱导组核因子κB核内阳性,提示他们通过激活核因子κB,介导血管壁细胞As相关基因VCAM-1和MCP-1的表达,而各川芎嗪组细胞核内核因子κB为阴性,说明川芎嗪通过抑制或阻断As危险因素诱导的核因子κB活化及核内移位,而抑制血管壁细胞VCAM-1和MCP-1表达。本研究结果为川芎嗪的抗As分子机制提供了新的实验依据,川芎嗪的其他药理作用有待进一步研究。

[参考文献]

- [1] Song J and Ruan Q. Mechanism of ligustrazine against thrombosis [J]. Chin Med J, 2000, **113** (2): 136-138
- [2] 王淳本,宗义强,吴万生.两步超速离心法快速分离大量血浆极低密度脂蛋白及低密度脂蛋白[J].同济医科大学学报,1995, **24** (3): 169-171
- [3] Lowry OH, Rosebrough NJ, Farr AL, Randall RJ. Protein measurement with the folin phenol reagent [J]. J Biol Chem, 1951, **193** (1): 265-275
- [4] 阮秋蓉,邓仲端,徐增缓,瞿智玲.培养的人脐静脉内皮细胞产生单核细胞趋化因子的研究[J].中华病理学杂志,1991, **20** (3): 205-208
- [5] Ruan QR, Zhang WJ, Hufnagl P, Kaun C, Binder BR, Wojta J. Anisodamine counteracts lipopolysaccharide-induced tissue factor and plasminogen activator inhibitor 1 expression in human endothelial cells: contribution of NF-κB pathway [J]. J Vasc Res, 2001, **38** (1): 13-19
- [6] Ruan QR, Deng ZD, Song JX. Very low density lipoprotein and oxidized very low density lipoprotein induce monocyte chemotactic protein 1 in rabbit aortic smooth muscle cells [J]. Chin Med J, 1996, **109** (3): 206-209
- [7] 北京制药工业研究所.川芎嗪有效成分研究——四甲基吡嗪(川芎嗪)的药理研究[J].中华医学杂志,1977, **57** (3): 464-467
- [8] DeGraba TJ, Siren AL, Penix L, McCarron RM, Hargraves R, Sood S, et al. Increased endothelial expression of intercellular adhesion molecule-1 in symptomatic versus asymptomatic human carotid atherosclerotic plaque [J]. Stroke, 1998, **29** (7): 1405-1410
- [9] O'Brien KD, Allen MD, McDonald TO, Chai A, Harlan JM, Fishbein D, et al. Vascular cell adhesion molecule-1 expressed in human coronary atherosclerotic plaques: implication for the mode of progression of advanced coronary atherosclerosis [J]. J Clin Invest, 1993, **92** (2): 945-951
- [10] Ruiz-Ortega M, Lorenzo O, Ruperez M, Konig S, Wittig B, Egido J. AngiotensinⅡ activates nuclear transcription factor κB through AT1 and AT2 in vascular smooth muscle cells [J]. Circ Res, 2000, **86** (12): 1266-1272
- [11] Tummala PE, Chen XL, Sundell CL, Laursen JB, Hammes CP, Alexander RW, et al. Angiotensin induces vascular cell adhesion molecule-1 expression in rat vasculature a potential link between renin-angiotensin system and atherosclerosis [J]. Circulation, 1999, **100** (11): 1223-1229

(本文编辑 胡必利)